

临床细胞生物学

microRNA-129-5p在脓毒症患者血清中的表达及对肺内皮细胞的影响

袁江汉 袁媛 周发春*

(重庆医科大学附属第一医院重症医学科, 重庆 400016)

摘要 该研究旨在探讨miR-129-5p(microRNA-129-5p)在脓毒症患者血清中的表达及对肺内皮细胞的影响。收集临床脓毒症患者的血液样本, 通过荧光实时定量PCR(RT-qPCR)检测miR-129-5p的水平并分析其表达水平与患者临床特征的关系。在肺微血管内皮细胞(HPMEC)中过表达miR-129-5p后, 用Transwell和ELISA实验检测其对细胞迁移以及炎症因子释放的影响。RT-qPCR结果显示, 与对照组相比, 脓毒症组miR-129-5p的表达水平降低($P<0.05$); 与脓毒症组相比, 脓毒性休克组miR-129-5p的表达水平更低($P<0.05$)。miR-129-5p的表达与氧合指数呈正相关, 与降钙素原、IL-1 β 、IL-6、TNF- α 水平呈负相关($P<0.001$), 且脓毒性休克组的28天死亡率较脓毒症组高($P<0.05$)。过表达miR-129-5p可以明显促进细胞的迁移, 减少炎症因子IL-1 β 、IL-6、TNF- α 的释放。综上所述, miR-129-5p在脓毒症模型中低表达, 病情越重其水平越低, 且与氧合指数、降钙素原水平相关。过表达miR-129-5p可以明显促进细胞的迁移并减少炎症因子的释放。

关键词 microRNA-129-5p; 脓毒症; 脓毒性休克; 炎症; 迁移

Expression of MicroRNA-129-5p in Serum of Sepsis Patients and Its Effect on Pulmonary Endothelial Cells

YUAN Jianghan, YUAN yuan, ZHOU Fachun*

(Department of Intensive Care Medicine, the First Affiliated Hospital of Chongqing Medical University, Chongqing 400016, China)

Abstract This study was aimed to investigate the expression of miR-129-5p (microRNA-129-5p) in serum of sepsis patients and its effect on pulmonary endothelial cells. Blood samples from patients with sepsis were collected, RT-qPCR (real-time quantitative PCR) was used to detect the level of miR-129-5p and the relationship between its expression level and clinical characteristics of patients was analyzed. miR-129-5p was overexpressed in HPMEC (pulmonary microvascular endothelial cell), the effects of miR-129-5p on cell migration and the release of inflammatory cytokines were detected by Transwell and ELISA assay. RT-qPCR results showed that the expression level of miR-129-5p was decreased in the sepsis group compared with the control group ($P<0.001$), and the expression level of miR-129-5p in the septic shock group was lower than that in the sepsis group ($P<0.05$). The ex-

收稿日期: 2021-03-07 接受日期: 2021-04-19

重庆市自然科学基金面上项目(批准号: cstc2020jcyj-msxmX1096)资助的课题

*通讯作者。Tel: 18502388799, E-mail: cyzfc1966@126.com

Received: March 7, 2021 Accepted: April 19, 2021

This work was supported by the General Project of Chongqing Natural Science Foundation of China (Grant No.cstc2020jcyj-msxmX1096)

*Corresponding author. Tel: +86-18502388799, E-mail: cyzfc1966@126.com

pression of miR-129-5p was positively correlated with oxygenation index and negatively correlated with PCT, IL-1 β , IL-6 and TNF- α levels ($P<0.001$), and the 28-day mortality in the septic shock group was higher than that in the sepsis group ($P<0.05$). Overexpression of miR-129-5p could significantly promote cell migration and reduce the release of inflammatory cytokines IL-1 β , IL-6 and TNF- α . In conclusion, miR-129-5p was low expressed in the sepsis model. The more severe the disease was, the lower the level of miR-129-5p was. It was correlated with oxygenation index and PCT. Overexpression of miR-129-5p can significantly promote cell migration and reduce the release of inflammatory cytokines.

Keywords microRNA-129-5p; sepsis; septic shock; inflammation; migration

脓毒症(sepsis)是由机体对感染反应失调引起的严重危及生命的器官功能障碍^[1], 是临幊上常见的急危重症。脓毒症感染引起的全身炎性反应综合征(systemic inflammatory response syndrome, SIRS)常常发展为多器官功能障碍, 继而引起死亡^[2]。脓毒症也是ICU患者死亡最常见的原因之一, 全球每年约有3 150万人发病, 530万人因此死亡, 脓毒症的高死亡率给人类健康带来巨大威胁^[3-5]。脓毒症的病理生理机制包括机体失控的炎症反应、凝血抗凝血和免疫功能障碍, 涉及细胞内多条信号传导通路的活化和分子机制^[6]。

微小RNA(microRNA, miRNA)是一类长约22 nt的内源性非编码RNA, 在细胞质中合成, 主要以微囊泡形式进入循环, 并且能够稳定存在于循环中, 可以被快速检测^[7-8]。有报道称, miRNA对炎症反应过程的各个环节都有重要调控作用, miRNA异常可能导致炎症反应失衡^[9]。近年研究表明, 在脓毒症和脓毒性休克患者血液中可检测到miRNA表达失调^[10]。

miR-129-5p是miR-129家族的主要功能型产物^[11], 既往的研究和文献报道发现其主要与肿瘤抑制有关, 在多种常见的肿瘤组织细胞中表达异常^[12-16]。WU等^[17]研究发现, 小鼠肺上皮细胞株中miR-129-5p的表达较低, 过表达miR-129-5p可导致鼠肺上皮细胞株细胞周期停滞。WAN等^[18]近期研究发现, miR-129-5p通过HMGB1/TLR4/NF- κ B通路减轻小鼠的炎症反应。有学者提出, miR-129-5p参与小鼠体内的炎症反应过程, 甚至能减轻小鼠脓毒症相关肺损伤^[19]。虽然已有部分研究证实, miR-129-5p能够抑制小鼠炎症反应, 但在人体中miR-129-5p的表达情况和作用尚不明确, 因此本研究拟通过检测脓毒症患者血清中miR-129-5p的水平, 分析其表达水平和脓毒症临床特征以及预后的关系, 并探讨其对

肺内皮细胞的影响。

1 材料与方法

1.1 研究对象

收集2018年4月至2019年6月在重庆医科大学附属第一医院和陆军军医大学大坪医院ICU入住的脓毒症患者67例进行研究, 脓毒症的诊断按照Sepsis 3.0指南标准。随访至患者院内死亡或康复出院, 最终纳入64名患者进行分析。纳入标准: (1) 临幊诊断为脓毒症或脓毒性休克并入住ICU的患者; (2) 入院确诊不超过6 h; (3) 年龄18~80岁; (4) 依从性好, 能定期随访的患者。排除标准: (1) 年龄<18岁, 或>80岁; (2) 免疫功能低下患者; (3) 孕产妇; (4) 外院转入; (5) 不愿或不能提供书面知情同意的患者; (6) 不愿或不能进行随访, 以及失访患者。本研究通过重庆医科大学附属第一医院伦理委员会审核批准[2019年科伦药审(20192301)号]。

1.2 样本收集和处理

患者确诊入院3 h抽取静脉血10 mL, 4 °C 3 000 r/min离心10 min, 将上清吸入1.5 mL无酶离心管中, 之后在4 °C 12 000 r/min条件下离心5 min, 吸取上清于1.5 mL无酶离心管中, 即可得到血清。取200 μL血清用于提取血清总miRNA, 将RNA置于-20 °C冻存以便进行RT-qPCR检测, 剩余血清置于-80 °C保存。

1.3 研究分组

根据临幊诊断, 所有患者入选时分为两组, 即脓毒症组($n=24$, 男性13例, 女性11例)和脓毒性休克组($n=40$, 男性28例, 女性12例)。选择健康志愿者作为对照组($n=20$, 男性12人, 女性8人)。本研究均经受试者同意并且签署知情同意书。根据研究目的, 记录患者的一般资料和检查结果, 包括性别、年龄、氧合指数($\text{PaO}_2/\text{FiO}_2$)、WBC、C-反应蛋白(C-reactive protein, CRP)、降钙素原(procalcitonin, PCT)、动脉

血乳酸(Lactate)和28天死亡率等。

1.4 细胞培养

人肺微血管内皮细胞(human pulmonary microvascular endothelial cell, HPMEC)于美国 ScienCELL 公司购买, 使用含有10%的胎牛血清(Gibco, 英国)和1%双抗(Solarbio, 中国)的高糖培养基(DMEM, Gibco, 美国)于37°C、5% CO₂培养箱中培养细胞。过表达miR-129-5p模拟物(mimic)以及miR-129-5p模拟物阴性对照(mimic NC)由上海吉玛制药技术有限公司构建。用10 μg/mL浓度的脂多糖(lipopolysaccharide, LPS; Sigma, 美国)刺激细胞24 h并检测miR-129-5p的表达水平。

1.5 细胞转染

将HPMEC细胞以1×10⁵个/孔的密度接种于6孔板中, 在37 °C、5% CO₂、高糖完全培养基中培养48 h。使用Lipofectamine 2000促转剂(Invitrogen, 美国)将miR-129-5p mimic或miR-129-5p mimic NC按照说明书转染到细胞中。培养48 h, 用于后续实验。

1.6 Transwell实验

用0.25%胰蛋白酶处理细胞, 重悬于无血清培养基中, 按1×10⁴个/孔密度接种于Transwell小室中, 加入200 μL含10 μg/mL LPS或等体积PBS的无血清培养基, 下室加入500 μL完全DMEM。连续培养24 h, 取出小室, 在4%多聚甲醛(Boster, 中国)中固定30 min, 然后在5%结晶紫溶液(Solarbio, 中国)中室温染色10 min。用棉签擦拭上室细胞, 用显微镜拍照和计数细胞, 每个样本随机选择三个高倍视野计数, 每组重复3次。

1.7 RT-qPCR检测

血清/血浆分离试剂盒(Tiangen, 中国)用来提取血液中的总miRNA, 总RNA提取试剂盒(TaKaRa, 日本)用来提取细胞中的RNA, 采用分光光度计(Nano-Drop 2000: Thermo Fisher, 美国)测定RNA的浓度和纯度。通过反转录试剂盒(638313, TaKaRa, 日本)将RNA反转录成互补的cDNA, RT-qPCR检测使用SYBR Premix试剂盒(RR820A, TaKaRa, 日本), 使用CFX96 RT-qPCR(应用生物系统公司, 美国)仪器进行PCR反应。miRNA-129-5p的引物序列为: 5'-GCG GTC TGGGC-3'(正向引物), 3'-CGG GTC TGG CG-5'(反向引物)。反应条件如下: 95 °C预变性30 s; 95 °C变性5 s, 60 °C退火和延伸30 s, 此步骤进行40个循环; 最后进行熔解曲线分析。所有样本检测重复3次, PCR结果

分析采用2^{-ΔΔCt}法。

1.8 ELISA检测

将冻存于-80 °C的三个分组(脓毒症组、脓毒性休克组、对照组)的血清样本取出, 冰上溶解。收集四组细胞(对照组、LPS组、mimic NC+LPS组、mimic+LPS组)培养液, 4 °C 3 000 r/min离心10 min。采用ELISA试剂盒(Multi Sciences, 中国)检测血清中白介素IL-1β、IL-6以及肿瘤坏死因子TNF-α的水平。实验操作按ELISA试剂盒说明书执行。

1.9 统计学分析

采用SPSS 24.0软件和GraphPad Prism 7.0进行统计分析和图像处理, 连续正态分布数据以平均数±标准差($\bar{x} \pm s$)表示; 非正态分布数据以中位数及四分位数[M, (Q1, Q3)]表示。对于正常对照组、脓毒症组及脓毒性休克组三组比较, 正态分布数据组间差异比较采用单因素方差分析, 事后比较采用Bonferroni校正; 非正态数据组间差异使用Kruskal-Wallis秩和检验; 率的比较使用卡方检验。所有实验结果均重复3次。统计学差异显著性水平为* $P < 0.05$, ** $P < 0.01$, *** $P < 0.001$ 。

2 结果

2.1 基本资料

2018年4月至2019年6月收集临床样本, 从纳入研究开始, 随访至病人康复出院或者院内死亡。统计脓毒症和脓毒性休克患者存活、死亡以及失访的病例数并计算28天死亡率。结果显示: 脓毒症休克组28天死亡率为27.5%, 明显高于脓毒症组($P < 0.05$, 表1)。

对照组、脓毒症组、脓毒性休克组的一般资料如表2所示, 三组资料在性别和年龄上差异无统计学意义, PaO₂/FiO₂、WBC、CRP、PCT、Lactate和miR-129-5p差异均有统计学意义($P < 0.001$)。三组组间差异事后校验两两比较后发现, 脓毒症组和脓毒性休克组组间差异有统计学意义的指标只有PaO₂/FiO₂、PCT和miR-129-5p($P < 0.05$, 表3)。miR-129-5p在对照组、脓毒症组、脓毒性休克组的中位表达水平分别为1.02、0.36、0.28($P < 0.001$); 三组中PaO₂/FiO₂的平均数值分别为451.50、287.75、230.43($P < 0.001$); 而三组中PCT中位表达水平分别为0.20、6.44、41.47($P < 0.001$)。炎症指标如WBC、CRP、Lactate在脓毒症组和脓毒性休克组中差异无统计学

表1 脓毒症组和脓毒性休克组患者随访情况
Table 1 Follow up of patients in the sepsis group and septic shock group

| 组别 Group | 数量 No. | 随访人数 Number of follow up | 纳入 Inclusion | 存活 Survival | 28天死亡 Death at 28 days | 统计检验 Statistical tests |
|--------------|-----------|-----------------------------|-----------------|----------------|---------------------------|---------------------------|
| Sepsis | 25 | 1 | 24 | 23 (95.83%) | 1 (4.16%) | 3.938 |
| Septic shock | 42 | 2 | 40 | 29 (72.50%) | 11 (27.50%) | 0.023* |

期望频数<5时两组28天死亡率之比用Fisher确切概率法计算。*P<0.05, 和脓毒症组相比。

Fisher's exact probability method was used for the ratio of 28-day mortality between the two groups when the expected frequency was less than five.
 *P<0.05 compared with the sepsis group.

表2 患者一般资料和临床特征
Table 2 General data and clinical characteristics of the patients

| 参数 Parameter | 正常对照 (n=20) Control (n=20) | 脓毒症组 (n=24) Sepsis (n=24) | 脓毒性休克组 (n=40) Septic shock (n=40) | 统计量 Statistic | P值 P value |
|------------------------------------|-------------------------------|------------------------------|--------------------------------------|------------------|--------------------|
| Gender (male/female) | 12/8 | 13/11 | 28/12 | 1.723 | 0.423 ^a |
| Age | 59.00 (53, 65) | 64.00 (52, 72) | 63.00 (50, 67) | 1.15 | 0.56 ^b |
| WBC ($\times 10^9/L$) | 7.16±1.93 | 13.70±5.51 | 16.13±7.29 | 15.37 | <0.001*** |
| CRP /mg·L ⁻¹ | 3.64 (2.30, 5.77) | 90.00 (40.50, 127.95) | 90.00 (74.58, 151.80) | 41.37 | <0.001*** |
| PaO ₂ /FiO ₂ | 451.50±27.09 | 287.75±111.73 | 230.43±84.52 | 45.84 | <0.001*** |
| PCT /ng·mL ⁻¹ | 0.20 (0.11, 0.39) | 6.44 (2.52, 39.48) | 41.47 (4.20, 100.00) | 38.10 | <0.001*** |
| Lactate /mmol·L ⁻¹ | 0.93 (0.66, 1.27) | 1.30 (1.10, 2.35) | 1.93 (1.40, 3.33) | 26.68 | <0.001*** |
| miR-129-5p | 1.02 (0.95, 1.03) | 0.36 (0.29, 0.47) | 0.28 (0.20, 0.35) | 51.32 | <0.001*** |

a: R×C卡方检验, b: Kruskal-Wallis秩和检验, c: 单因素方差分析。***P<0.001。

a: R×C Chi-square test, b: Kruskal-Wallis rank sum test, c: One-Way ANOVA. ***P<0.001.

表3 三组组间差异事后检验两两比较
Table 3 Pairwise comparison of the differences between the three groups by post test

| 参数 Parameter | 正常对照组vs脓毒症组(t,P) Control vs Sepsis (t,P) | 正常对照组vs脓毒性休克组(t,P) Control vs Sepsis shock (t,P) | 脓毒症组vs脓毒性休克组(t,P) Sepsis vs Sepsis shock (t,P) |
|------------------------------------|---|---|---|
| WBC($\times 10^9/L$) | -3.65, <0.001*** | -5.53, <0.001*** | -1.59, 0.38 ^b |
| CRP /mg·L ⁻¹ | 36.30, <0.001*** | 41.64, <0.001*** | -5.33, 1.000 ^a |
| PaO ₂ /FiO ₂ | 6.39, <0.001*** | 9.54, <0.001*** | 2.62, 0.031 ^{b*} |
| PCT /ng·mL ⁻¹ | 31.28, <0.001*** | 46.75, <0.001*** | -15.47, 0.045** |
| Lactate /mmol·L ⁻¹ | 23.55, 0.004*** | 34.49, <0.001*** | -10.94, 0.28 ^a |
| miR-129-5p | 32.29, <0.001*** | 47.83, <0.001*** | -15.53, 0.041** |

a: Kruskal-Wallis秩和检验事后两两比较, b: 单因素方差分析事后Bonferroni矫正两两比较。*P<0.05, **P<0.01, ***P<0.001。性别及年龄组间差异无统计学意义, 不进行事后两两比较。

a: pairwise comparison after Kruskal-Wallis rank sum test; b: pairwise comparison after Bonferroni correction of One-Way ANOVA. *P<0.05, **P<0.01, ***P<0.001. There was no differences in gender and age groups, and no pairwise comparison was performed.

意义(P>0.05, 表3)。

2.2 血清中miR-129-5p的表达

为了探究miR-129-5p在脓毒症中的作用, 我们分析了其与临床指标的相关性, 通过斯皮尔曼和皮尔逊相关性分析发现, miR-129-5p与氧合指数呈正相关, r 值为0.69, 与PCT、IL-1 β 、IL-6以及TNF- α 呈负相关($P<0.001$, 表4)。RT-qPCR实验结果显示, 与对照组相比, miR-129-5p表达水平明显降低

($P<0.001$); 与脓毒症组相比, 脓毒症休克组miR-129-5p水平更低($P<0.05$, 图1A和图1B)。

本研究中还分析了氧合指数≤250组和氧合指数>250组患者血清中的miR-129-5p表达水平, 发现和氧合指数>250组相比, 氧合指数≤250组患者血清中miR-129-5p的表达水平明显降低($P<0.01$, 图1C)。最后, 本研究比较了降钙素原≤10组和降钙素原>10组患者血清中的miR-129-5p表达水平,

结果显示与降钙素原≤10组相比, 降钙素原>10组患者血清中miR-129-5p表达水平降低($P<0.05$, 图1D)。

2.3 血清中炎性因子的表达水平

ELISA试剂盒检测血清样本中相关炎性因子的水平, 结果如图2所示, 和对照组相比, 脓毒症组IL-1 β 、IL-6、TNF- α 的表达水平升高($P<0.05$); 脓毒性休克组IL-1 β 、IL-6、TNF- α 的表达水平也升高($P<0.05$, $P<0.01$); 且与脓毒症组相比, 脓毒性休克

组炎性因子表达水平更高($P<0.05$, $P<0.01$)。

2.4 miR-129-5p对HPMEC迁移的影响

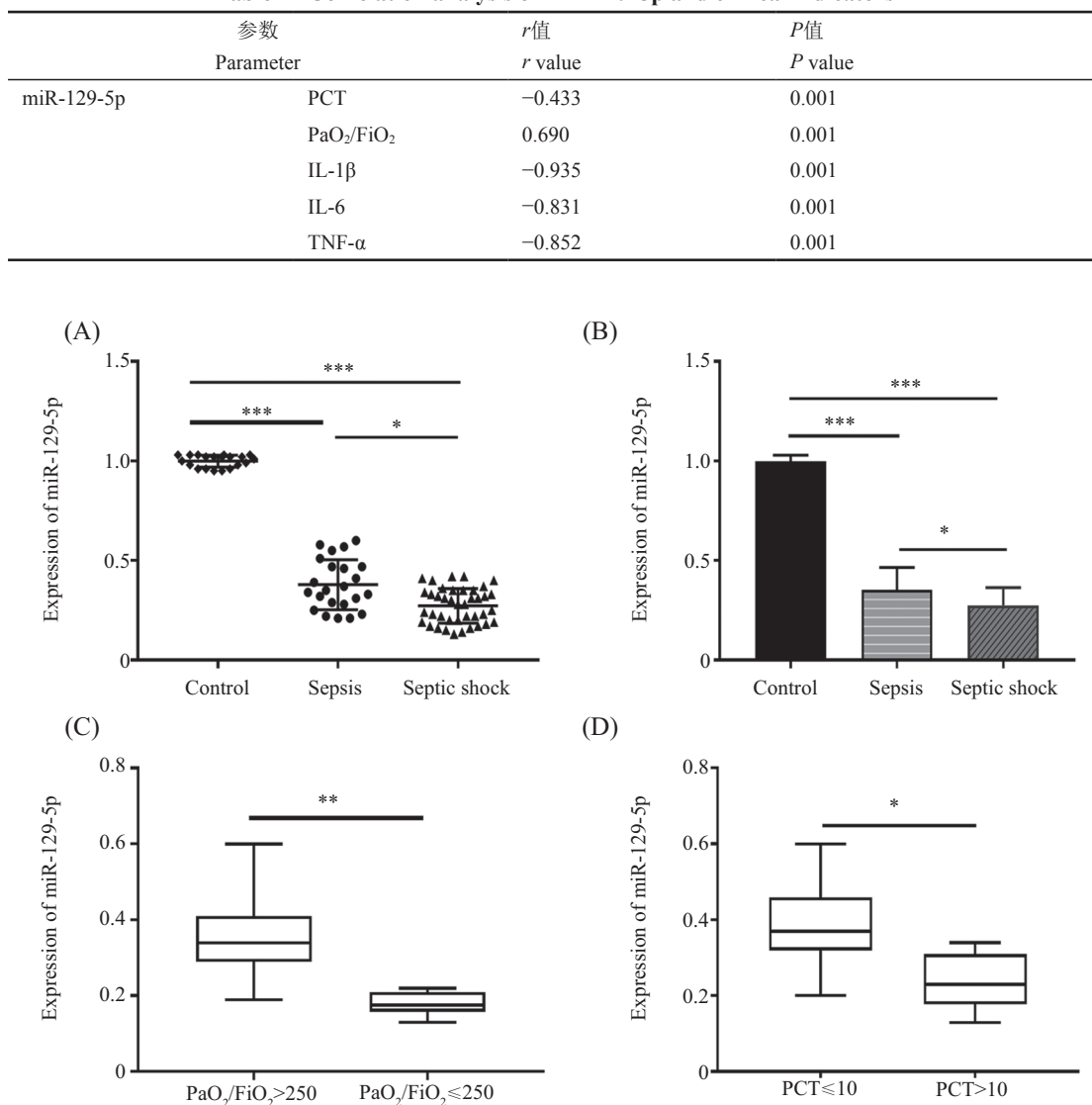
如图3所示, 使用LPS处理HPMEC之后, 和对照组相比, miR-129-5p的表达水平明显降低($P<0.01$), 细胞的迁移数量也显著减少($P<0.05$), 而使用mimic转染过表达miR-129-5p之后, 与NC组相比, miR-129-5p的表达水平升高, 细胞迁移数量也增多($P<0.05$)。

2.5 miR-129-5p对细胞因子的影响

ELISA试剂盒检测四组细胞培养液中细胞炎

表4 miR-129-5p与临床指标的相关性分析

Table 4 Correlation analysis of miR-129-5p and clinical indicators

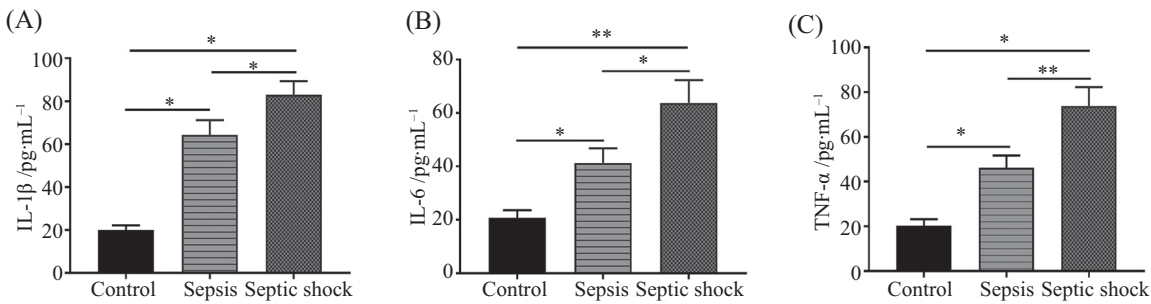


A、B: 对照组($n=20$)、脓毒症组($n=24$)、脓毒性休克组($n=40$)血清miR-129-5p的水平; C: 按氧合指数分组的患者血清miR-129-5p水平; D: 按降钙素原分组的患者miR-129-5p水平。* $P<0.05$, ** $P<0.01$, *** $P<0.001$ 。

A,B: serum miR-129-5p levels in the control group ($n=20$), sepsis group ($n=24$), and septic shock group ($n=40$); C: serum miR-129-5p level of patients grouped according to $\text{PaO}_2/\text{FiO}_2$; D: miR-129-5p level of patients grouped according to PCT. * $P<0.05$, ** $P<0.01$, *** $P<0.001$.

图1 ICU患者血清miR-129-5p的水平

Fig 1 The level of serum miR-129-5p in ICU patients

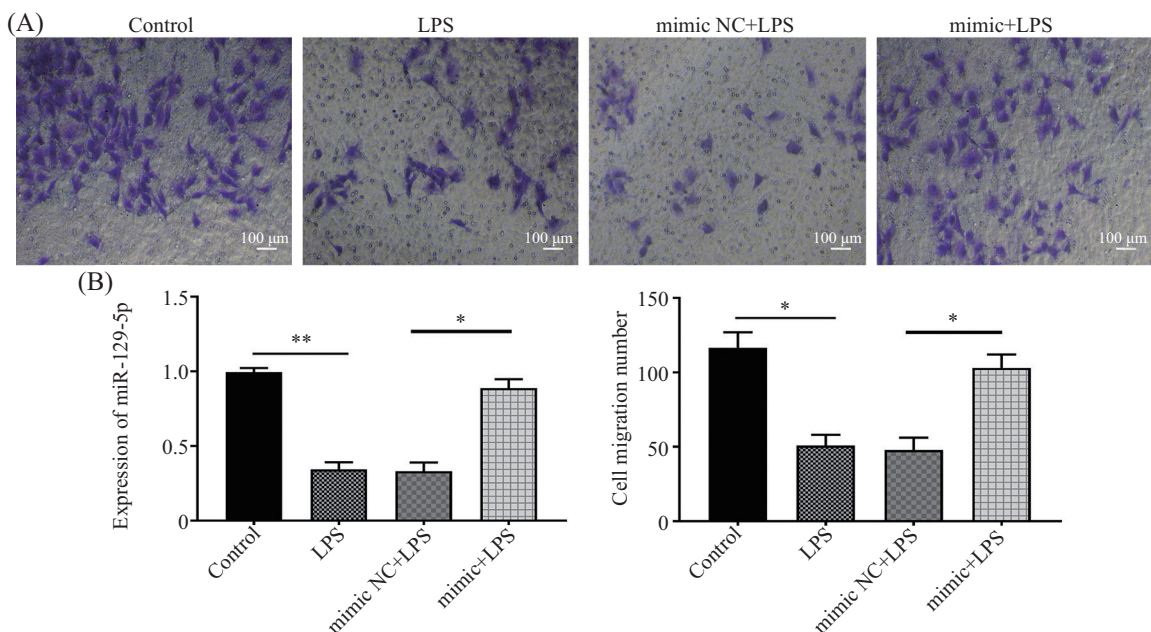


A: 血清中IL-1 β 的表达水平; B: 血清中IL-6的表达水平; C: 血清中TNF- α 的表达水平。*P<0.05, **P<0.01。

A: expression level of IL-1 β in serum; B: expression level of IL-6 in serum; C: expression level of TNF- α in serum. *P<0.05, **P<0.01.

图2 血清中炎性因子的表达水平

Fig.2 Expression levels of inflammatory cytokines in serum



A: 过表达miR-129-5p增加HPMEC迁移细胞的数量; B: 转染之后HPMEC中miR-129-5p表达水平的变化; C: 转染之后HPMEC迁移细胞数量变化。*P<0.05, **P<0.01。

A: overexpression of miR-129-5p increased the migrated number of HPMEC; B: changes in expression level of miR-129-5p in HPMEC after transfection; C: changes in the migratory number of HPMEC after transfection. *P<0.05, **P<0.01.

图3 过表达miR-129-5p促进HPMEC细胞的迁移

Fig.3 Overexpression of miR-129-5p promoted the migration of HPMEC

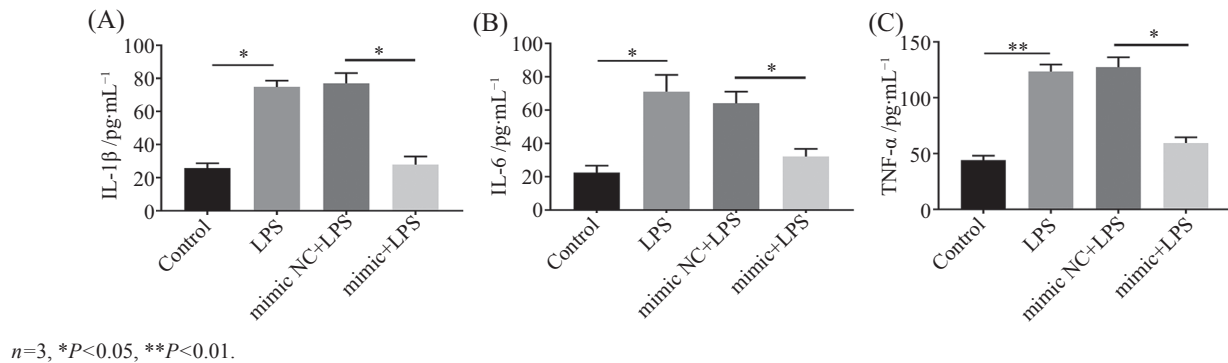
性因子IL-1 β 、IL-6和TNF- α 的表达水平(图4)。与对照组相比, LPS处理的HPMEC培养液中IL-1 β 、IL-6、TNF- α 的表达水平均升高($P<0.05$, $P<0.01$);与过表达阴性对照NC组相比, miR-129-5p过表达组IL-1 β 、IL-6、TNF- α 的表达水平显著降低($P<0.05$)。这些结果表明,过表达miR-129-5p能够减轻细胞的炎症反应。

3 讨论

脓毒症发病率高、死亡率高,给全球医疗卫生系统带了巨大负担^[4]。目前临幊上尚无治疗脓毒症的特效药物,因此早期识别诊断脓毒症、早进行干

预是提高患者存活率的关键。寻找早期诊断脓毒症的生物标志物尤为重要。在感染早期,机体释放多种促炎因子和炎症介质,引起炎症反应。与此同时,机体也合成各种抗炎因子,两者之间的平衡维持机体内环境稳定。当抗炎因子与促炎因子表达水平失衡,就会引起病情加重。

临幊上反映感染和早期诊断脓毒症的指标如WHB、CRP、Lactate等都和炎症反应密切相关,且与感染程度呈正相关。但是它们都不能有效鉴别非感染性SIRS、脓毒症以及脓毒性休克,这可能会耽误治疗和引起抗生素乱用。本研究结果显示,对照



$n=3$, * $P<0.05$, ** $P<0.01$.

图4 miR-129-5p mimic对炎性细胞因子IL-1 β 、IL-6、TNF- α 释放的影响
Fig.4 Effect of miR-129-5p mimic on the release of inflammatory cytokines IL-1 β , IL-6 and TNF- α

组、脓毒症和脓毒性休克组中WBC、CRP、Lactate差异均有统计学意义,但是事后分析中,脓毒症和脓毒性休克组组间差异无意义,表明这些指标无法区别脓毒症与脓毒性休克。而miR-129-5p、PCT和氧合指数在脓毒症和脓毒症性休克组中差异有统计学意义,即可以对脓毒症和脓毒性休克进行区分。

在相关性分析中发现,miR-129-5p与氧合指数呈正相关,与PCT呈负相关,表明miR-129-5p与临床指标密切相关,可以作为一种标志物,氧合指数虽然能反映疾病状态和炎症程度,但是不能区分感染和其他肺部疾病。2001年,PCT在国际脓毒症会议上被确定为脓毒症诊断指标之一^[20]。HARBARTH等^[21]研究表明,PCT与疾病严重程度相关,其对细菌感染早期诊断有较高特异度。但是最近研究表明,PCT不能鉴别早期脓毒症和SIRS的发生。因此开发其他的标志物很有必要。

miRNAs是非编码RNAs,miRNAs水平在健康和疾病状态之间动态变化,因此在疾病进展过程中,miRNAs可以提供细胞状态和功能的实时信息^[22]。与传统标志物相比,miRNAs具有体积小、化学结构简单、无转录后加工修饰等优点^[23],同时在临幊上可被快速检测,处理样本误差小。如本研究中,在患者入院3 h内即可检测到miR-129-5p的差异表达。这些是其他标志物不具备的,miR-129-5p适合作为脓毒症诊断和判断预后的生物标志物。

在本研究中,miR-129-5p表达水平在脓毒症患者血清中和HPMEC细胞模型中均降低,且脓毒性休克患者miR-129-5p表达水平比脓毒症患者低,表明miR-129-5p水平和脓毒症感染严重程度呈负相关,可以识别脓毒症和脓毒性休克。miR-129-5p区别脓毒症或脓毒性休克的临界值范围尚需要更多的研究

来证实。脓毒症患者血清中IL-1 β 、IL-6和TNF- α 等炎性因子的表达上调,相关性分析发现,miR-129-5p与IL-1 β 、IL-6和TNF- α 呈负相关,再次说明miR-129-5p能反映疾病或者感染的状态。在HPMEC中,LPS刺激使miR-129-5p水平降低,IL-1 β 、IL-6和TNF- α 表达上调,这说明LPS诱导的脓毒症模型是可信的,与人体炎症状态一致。

用LPS刺激HPMEC细胞,迁移细胞减少,迁移能力降低。过表达miR-129-5p之后,迁移细胞增多,迁移能力增强。IL-1 β 、IL-6、TNF- α 等炎性细胞因子的释放减少。HPMEC既是肺损伤主要的靶细胞,也是活跃的炎症和效应细胞,迁移能力的降低是其功能受损的体现。而血管内皮屏障功能在肺损伤过程中十分重要,内皮细胞迁移能力与内皮屏障功能的修复密切相关^[24],减轻内皮细胞的损伤对缓解肺损伤有重要意义。过表达miR-129-5p能够减轻HPMEC细胞的炎症反应,由此可见,miR-129-5p在脓毒症的发生发展中起到了重要的作用,有可能成为诊断脓毒症的分子标记物,或成为治疗脓毒症的靶点,但其具体机制尚有待研究。

既往研究表明,miRNAs可作为多种疾病的生物标志物,如血清miR-150可预测脓毒症和危重症患者的生存预后^[25],miR-146和miR-222在分化型甲状腺癌的治疗和随访中可能有预后价值^[26]。另外,有研究表明在小鼠脓毒症模型中,miR-129-5p表达水平降低,产生一定的抗炎作用,这与本研究的研究结果一致^[19]。miR-129-5p能靶向高迁移率族蛋白1(high mobility group protein box1, HMGB1)减轻细胞损伤,但miR-129-5p在HPMEC损伤中的作用和机制尚不明了,细胞的迁移能力与整合素家族的表达密切相关,我们前期的研究显示,miR-92a能够调节

整合素A5的表达从而影响细胞的迁移和侵袭^[27]。因此,在后续研究中,我们将密切关注miR-129-5p对整合素家族的影响和作用机制。

综上所述,miR-129-5p在脓毒症或脓毒性休克患者血清中和HPMEC细胞模型中低表达,可能作为早期诊断脓毒症的标志物,过表达miR-129-5p能够使细胞迁移能力增强,减少炎症因子的释放,深入研究其作用机制有重要意义,可能为脓毒症的治疗提供新的靶点。

参考文献 (References)

- [1] SINGER M, DEUTSCHMAN C S, SEYMOUR C W, et al. The third international consensus definitions for sepsis and septic shock (Sepsis-3) [J]. *JAMA*, 2016, 315(8): 775-87.
- [2] ANGUS D C, POLL T V D. Severe sepsis and septic shock [J]. *N Engl J Med*, 2013, 369(9): 840-51.
- [3] WENG L, ZENG X Y, YIN P, et al. Sepsis-related mortality in China: a descriptive analysis [J]. *Intensive Care Med*, 2018, 1-10.
- [4] REINHART K, DANIELS R, KISSOON N, et al. Recognizing sepsis as a global health priority-a WHO resolution [J]. *N Engl J Med*, 2017, 377(5): 414-7.
- [5] DELLINGER R P, LEVY M M, RHODS A, et al. Surviving Sepsis Campaign: international guidelines for management of severe sepsis and septic shock, 2012 [J]. *Intensive Care Med*, 2013, 39(2): 165-228.
- [6] ANGUS D C, LINDE-ZWIRBLE W T, LIDICKER J, et al. Epidemiology of severe sepsis in the United States: analysis of incidence, outcome, and associated costs of care [J]. *Crit Care Med*, 2001, 29(7): 1303-10.
- [7] 林海焕, 莫泽珣, 苏和毅, 等. 循环微小RNA作为脓毒症生物标志物的研究进展[J]. 中华危重病急救医学(LIN H H, MO Z X, SU H Y, et al. The research progress of circulating microRNA as a biomarker for sepsis [J]. *Chin J Crit Care Med*), 2016, 28(8): 752-5.
- [8] OKAMURA K, PHILLIPS M, TYLER D M, et al. The regulatory activity of microRNA* species has substantial influence on microRNA and 3' UTR evolution [J]. *Nat Struct Mol Biol*, 2008, 15(4): 354-63.
- [9] REBANE A, AKDIS C A. MicroRNAs: essential players in the regulation of inflammation [J]. *J Allergy Clin Immunol*, 2013, 132(1): 15-26.
- [10] 常虹, 卢祖能. miR-151a-3p在急性脑梗死患者血清中的表达及与炎性因子的相关性研究[J]. 中华危重病急救医学(CHANG H, LU Z N. Expression of miR-151A-3p in serum of patients with acute cerebral infarction and its correlation with inflammatory factors [J]. *Chin J Crit Care Med*), 2016, 28(3): 272-6.
- [11] YU X, SONG H, XIA T, et al. Growth inhibitory effects of three miR-129 family members on gastric cancer [J]. *Gene*, 2013, 532(1): 87-93.
- [12] ZHANG Y, WANG Y, WEI Y, et al. MiR-129-3p promotes docetaxel resistance of breast cancer cells via CP110 inhibition [J]. *Sci Rep*, 2015, 5: 15424.
- [13] YU Y, YING Z, SUN X H, et al. Down-regulation of miR-129-5p via the Twist1-Snail feedback loop stimulates the epithelial-mesenchymal transition and is associated with poor prognosis in breast cancer [J]. *Oncotarget*, 2015, 6(33): 34423-36.
- [14] WU Q, YANG Z, XIA L, et al. Methylation of miR-129-5p CpG island modulates multi-drug resistance in gastric cancer by targeting ABC transporters [J]. *Oncotarget*, 2014, 5(22): 11552-63.
- [15] TSAI K W, WU C W, HU L Y, et al. Epigenetic regulation of miR-34b and miR-129 expression in gastric cancer [J]. *Int J Cancer*, 2011, 129(11): 2600-10.
- [16] ZENG H, WANG L, WANG J, et al. microRNA-129-5p suppresses Adriamycin resistance in breast cancer by targeting SOX2 [J]. *Arch Biochem Biophys*, 2018, 651: 52-60.
- [17] WU J, QIAN J, LI C, et al. miR-129 regulates cell proliferation by downregulating Cdk6 expression [J]. *Cell Cycle*, 2010, 9(9): 1809-18.
- [18] WAN G, AN Y, TAO J, et al. MicroRNA-129-5p alleviates spinal cord injury in mice via suppressing the apoptosis and inflammatory response through HMGB1/TLR4/NF-κB pathway [J]. *Biosci Rep*, 2020, 40(3): BSR20193315.
- [19] PENG Y A, WEI X A, XC A, et al. Overexpression of miR-129-5p mitigates sepsis-induced acute lung injury by targeting High Mobility Group Box 1 [J]. *J Surg Res*, 2020, 256: 23-30.
- [20] LEVY M M, FINK M P, MARSHALL J C, et al. 2001 SCCM/ESICM/ACCP/ATS/SIS international sepsis definitions conference [J]. *Crit Care Med*, 2003, 31(4): 1250-6.
- [21] HARBARTH S, HOLECKOVA K, FROIDEVAUX C, et al. Diagnostic value of procalcitonin, interleukin-6, and interleukin-8 in critically ill patients admitted with suspected sepsis [J]. *Am J Respir Crit Care Med*, 2001, 164(3): 396-402.
- [22] LU T X, ROTHEMBERG M E. MicroRNA [J]. *J Allergy Clin Immunol*, 2017, 141(4): 1202-7.
- [23] VICKERS K C, REMALEY A T. Lipid-based carriers of microRNAs and intercellular communication [J]. *Curr Opin Lipidol*, 2012, 23(2): 91-7.
- [24] WARE L B, MATTHAY M A. The acute respiratory distress syndrome [J]. *N Engl J Med*, 2012, 332(8): 27-37.
- [25] CHRISTOPH R, MARK L, DAVID V C, et al. Circulating microRNA-150 serum levels predict survival in patients with Critical Illness and sepsis [J]. *PLoS One*, 2013, 8(1): e54612.
- [26] GOMEZ A M, CORNEJO I M, GARCIA J, et al. New molecular biomarkers in differentiated thyroid carcinoma: impact of miR-146, miR-221 and miR-222 levels in the evolution of the disease [J]. *Clin Endocrinol*, 91(1): 187-94.
- [27] XU F, ZHOU F. Inhibition of microRNA-92a ameliorates lipopolysaccharide-induced endothelial barrier dysfunction by targeting ITGA5 through the PI3K/Akt signaling pathway in human pulmonary microvascular endothelial cells [J]. *Int Immunopharmacol*, 2020, 78: 106060.